

МИНИСТЕРСТВО ТЯЖЕЛОГО, ЭНЕРГЕТИЧЕСКОГО  
И ТРАНСПОРТНОГО МАШИНОСТРОЕНИЯ СССР  
ЦЕНТРАЛЬНЫЙ НАУЧНО-ИССЛЕДОВАТЕЛЬСКИЙ  
И ПРОЕКТНО-КОНСТРУКТОРСКИЙ КОЛЛОДИУРБИННЫЙ  
ИНСТИТУТ ИМЕНИ И. И. ПОЛЗУНОВА  
(ЦКТИ)

МИНИСТЕРСТВО ЭНЕРГЕТИКИ  
И ЭЛЕКТРИФИКАЦИИ СССР  
ВСЕСОЮЗНЫЙ ДВАЖДЫ ОРДЕНА ТРУДОВОГО  
КРАСНОГО ЗНАМЕНИ ТЕПЛОТЕХНИЧЕСКИЙ НАУЧНО-  
ИССЛЕДОВАТЕЛЬСКИЙ ИНСТИТУТ ИМЕНИ  
Ф. Э. ДЗЕРЖИНСКОГО  
(ВТИ)

# ТЕПЛОВОЙ РАСЧЕТ КОТЕЛЬНЫХ АГРЕГАТОВ

(НОРМАТИВНЫЙ МЕТОД)

*Издание 2-е, переработанное*

ПОД РЕДАКЦИЕЙ

доктора техн. наук Н. В. КУЗНЕЦОВА, доктора техн. наук В. В. МИТОРА,  
канд. техн. наук И. Е. ДУБОВСКОГО, канд. техн. наук Э. С. КАРАСИНОЙ



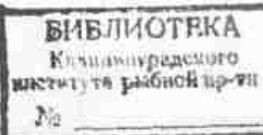
«ЭНЕРГИЯ»  
Москва 1973

6П2.22

Т 34

УДК 621.181.001.24:536.7(083.75)

Коллектив авторов: **доктор техн. наук Н. В. КУЗНЕЦОВ,**  
**доктор техн. наук В. В. МИТОР,** канд. техн. наук И. Е. ДУБОВСКИЙ, канд. техн. наук Э. С. КАРАСИНА, канд. техн. наук М. М. РУБИН, доктор техн. наук А. Г. БЛОХ, доктор техн. наук Ю. Л. МАРШАК, канд. техн. наук Р. А. ПЕТРОСЯН, доктор техн. наук В. А. ЛОКШИН, канд. техн. наук С. И. МОЧАН, доктор техн. наук П. Н. КЕНДЫСЬ.



Тепловой расчет котельных агрегатов (Нормативный метод). Под ред. Н. В. Кузнецова и др., М., «Энергия», 1973.

296 с. с ил.

Данный Нормативный метод теплового расчета котельных агрегатов, составленный совместно Всесоюзным теплотехническим и Центральным котлотурбинным институтами и утвержденный Научно-техническими советами Минтяжмаша и Минэнерго, выпущен для использования предприятиями этих министерств взамен издания Госэнергопиздатом в 1967 г. Одновременно готовится новое, обязательное для применения, издание Нормативного метода с использованием единиц, предусмотренных государственным стандартом «Единицы физических величин».

Основной текст книги содержит методику теплового расчета котельных агрегатов с необходимыми расчетными таблицами и помограммами. В приложениях даны братские указания по проектированию котельных агрегатов, расчету и проектированию пароресивных, расчету температуры стенки труб и воздухонагревателя с промежуточным теплоносителем, а также примеры расчетов.

Книга предназначена для проектировщиков и конструкторов котельных агрегатов, инженеров электростанций и наладочных организаций, для преподавателей и студентов высших технических учебных заведений.

Т 0333-075  
051(01)-73 11-73

6П2.22

© Издательство «Энергия». 1973 г.

## ПРЕДИСЛОВИЕ

Данный Нормативный метод теплового расчета котельных агрегатов разработан взамен издданного в 1957 г. За истекший период времени котельная техника получила дальнейшее широкое развитие: выросла производительность котельных агрегатов; стали широко применяться сверхкритические параметры пара; введен промежуточный перегрев; в качестве основной принята блочная компоновка котел — турбина; существенные изменения произошли в топливной базе тепловых электростанций за счет привлечения и более широкого использования новых топлив.

Одновременно с этим научно-исследовательскими институтами выполнены обширные и разносторонние исследования, а заводами и электростанциями накоплен опыт проектирования и эксплуатации, что дало возможность существенно усовершенствовать методику расчета и проектные рекомендации. Все это потребовало переработки нормативного метода теплового расчета котельных агрегатов.

Излагаемый ниже метод теплового расчета базируется в основном на работах ВТИ и ЦКТИ и суммирует результаты теплотехнических исследований, выполненных институтами за последние 10—15 лет.

Основные принципы построения метода расчета и распределение материалов по главам сохранены такими же, как в издании 1957 г.

В данном Нормативном методе используются единицы физических величин, основанные, главным образом, на килограмм-силе и калории. Комитетом стандартов эти единицы не допускаются для самостоятельного применения, а к практическому использованию с 1970 г. рекомендованы единицы системы СИ (проект государственного стандарта СССР «Единицы физических величин»).

Учитывая необходимость скорейшего внедрения новой методики теплового расчета котельных агрегатов, данный Нормативный метод выпускается без коренных изменений единиц физических величин. Одновременно авторами подготавливается новая редакция Нормативного метода в соответствии с требованиями государственного стандарта «Единицы физических величин». Для возможности выполнения тепловых расчетов котельных агрегатов в единицах СИ ниже приводится таблица соотношений между единицами.

Нормы состоят из текста, таблиц, расчетных nomogramm и приложений.

В главе «Топливо» приведены новые расчетные характеристики отечественных топлив, основанные на результатах исследований, выполненных ВТИ. Материалы этой главы составлены Т. А. Зинеевым, И. И. Матвеевым, А. Я. Леоновой, В. М. Третьяковым, В. С. Вдовченко, И. Я. Залкиндом и Р. А. Липштейном.

В следующей главе приведены уточненные физические характеристики рабочих тел, используемые в тепловом расчете котельного агрегата, и новые таблицы термодинамических свойств воды и водяного пара; эти

материалы представлены С. Л. Ривкиным и А. М. Сиротой.

Новые расчетные характеристики топок разработаны М. М. Рубиным, Ю. Л. Маршаком и П. Н. Кендилем при участии Е. В. Нечаева, А. Д. Горбаченко, Я. П. Сторожуха, А. Н. Лебедева, С. Л. Шагаловой, И. Е. Дубовского, С. Н. Милюкова, М. А. Поляцкина, Н. С. Рассудова и И. К. Барятиня.

Методика расчета теплообмена в топочных камерах разработана в двух вариантах: в первом, разработанном ЦКТИ, сохранена формула А. М. Гурвича, основанная на применении теории подобия к топочным процессам; второй, представленный ВТИ и ЭНИИ, базируется на использовании уравнений теплообмена (Стефана — Больцмана) и теплового баланса топочной камеры. Оба метода разработаны как для однокамерных, так и для двухкамерных топок.

В качестве нормативных рекомендуются: для расчета теплообмена в однокамерных и полуоткрытых топках — метод ЦКТИ, для расчета теплообмена в двухкамерных топках — метод ВТИ — ЭНИИ. Соответственно составлен текст гл. 6, в части этих методик, не вошедшие в основной текст «Нормативного метода», даны в приложениях V и VI. Они могут быть использованы для сравнительных расчетов и анализа экспериментальных данных.

Методика ЦКТИ разработана В. В. Миторем, М. М. Рубиным, А. Г. Блохом (ЦКТИ) и П. Н. Кендилем (ЛПИ). Позжеший метод расчета топок и рекомендации по определению коэффициентов тепловой эффективности экранов разработаны В. В. Миторем; рекомендации по расчету теплообмена в топках с жидким шлакоудалением — М. М. Рубиным; расчет степени червоты топок и эмиссионных свойств факела — А. Г. Блохом и В. В. Миторем. Расчет излучения для слоистых топок и топок малой мощности из мазута и газа уточнен В. П. Артемьевым.

Методика учета неравномерной освещенности двусторонних экранов и ширм разработана И. Р. Микком (ЛПИ).

Методика расчета лучистого теплообмена ВТИ — ЭНИИ составлена Э. С. Карасиной, А. С. Невским, С. С. Филимоновым, В. И. Андриановым и Б. А. Хрусталевым. Методика расчета теплообмена предтопков (камер сторожки) разработана Ю. Л. Маршаком.

Рекомендации по определению коэффициентов распределения локальных тепловых нагрузок в топках составлены Э. С. Карасиной на основании оценочных данных ВТИ и ЦКТИ.

В гл. 7 суммированы результаты исследований теплообмена в конвективных и ширмовых поверхностях нагрева и результаты промышленных испытаний котельных агрегатов. Данные о коэффициентах теплоотдачи конвекции обобщены: при поперечном омывании трубных пучков — В. А. Локшиным, А. Я. Антоновым, С. И. Мочаном и О. Г. Ревзиной; при продольном внешнем обтекании — В. М. Борицким, Э. В. Фир-

Предисловие

4

совой, В. А. Локшиным и А. Я. Антоновым; при течении внутри труб — В. Л. Лельуком, Н. В. Тарасовой, Г. И. Елфимовым и А. Г. Калачевой; для оребренных поверхностей напротив — В. А. Локшиным, С. Н. Тулинским, В. Ф. Юдиным, Л. С. Тахтаровой.

Методика расчета ширмовых перегревателей разработана Э. С. Карасиной и И. Е. Дубовским.

Обобщение данных о загрязнении конвективных поверхностей нагрева при сжигании твердых, жидких и газообразных топлив на основе промышленных и стендовых исследований выполнено И. Е. Дубовским и Р. А. Петросианом с использованием данных И. В. Кузнецова и А. З. Щербакова по загрязнению гладкотрубных шахматных пучков при сжигании твердых топлив. Рекомендации по определению коэффициентов загрязнения, тепловой эффективности и использования конвективных и ширмовых поверхностей нагрева разработаны И. Е. Дубовским, Р. А. Петросианом, Э. С. Карасиной и В. А. Петровым.

Уточненная методика расчета регенеративных воздухонагревателей разработана В. С. Назаренко, И. Е. Дубовским и В. К. Мигаем.

Раздел «Температурный напор» сохранен в редакции 1957 г.

Текст гл. 2—5 и 8 уточнен Э. С. Карасиной, И. Е. Дубовским и С. И. Мочаном. Текст гл. 6 составлен В. В. Митором, М. М. Рубиным, А. Г. Блохом, Э. С. Карасиной и П. Н. Кендесом; гл. 7 — И. Е. Дубовским и Э. С. Карасиной.

Метод расчета пароохладителей уточнен С. И. Мочаном и О. Г. Ревзиной.

Метод расчета температуры металла стенки труб составлен С. И. Мочаном и В. А. Локшиным при участии Э. М. Тынтарева.

Методика расчета температуры стенки оцинкованной трубы составлена Ю. Л. Маршаком, А. В. Рыжаковым, М. М. Рубиным, Л. М. Сорокупом, А. Л. Бычковским.

Методика расчета воздухонагревателей с промежуточным теплоносителем составлена А. Ф. Гавриловым.

Примерные тепловые расчеты котельных агрегатов

выполнены Э. В. Лесниковской, Е. Я. Титовой и В. А. Гарман.

Приложение по автоматизации поверочного теплового расчета составлено ЦКТИ — Э. М. Тынтаревым, С. И. Мочаном, Г. Н. Терушкиной и ЦНИИКА — М. П. Симко, Ф. А. Вудьманом, Т. Б. Сизовой и Н. Д. Михейкиной.

Краткие указания по проектированию топочных устройств составили Ю. Л. Маршак, М. М. Рубин, П. Н. Кендес при участии К. Ф. Роддатиса, А. Д. Горбаненко, Е. В. Нечаева, Я. П. Сторожуха, В. П. Ромадина, С. Л. Шагаловой, А. Н. Лебедева, М. А. Полянкина, А. Н. Кондратина, Б. Д. Кацельсона, С. Н. Милюкова, И. М. Точилкина.

Краткие указания по проектированию поверхностей нагрева составили И. Е. Дубовский и Р. А. Петросян при участии С. И. Мочана.

Метод расчета предельно допустимых скоростей газов в конвективных поверхностях составил И. Е. Дубовский.

Определение тепловых характеристик топок и коэффициентов тепловой эффективности и загрязнения поверхностей нагрева производилось по материалам промышленных испытаний, выполненных ЦКТИ и ВТИ.

В подготовке материалов для Нормативного метода, помимо авторов, принимали участие: А. И. Дворецкий (гл. 3, 5), И. С. Рассудов (гл. 5 и приложение II), И. И. Волков, В. П. Ромадин, П. Г. Сальков (гл. 5), А. А. Абрютин (гл. 6 и § 7-Б.д), В. П. Артемьев, Е. П. Карасев, О. А. Резник, Н. М. Савельева, С. А. Славинская, Л. М. Сорокуп, А. Б. Стернина, Н. Н. Титова (гл. 6), В. К. Мигай (§ 7-Б.6), В. С. Назаренко (§ 7-Б.6, д), В. П. Иванов, Я. М. Карасюк, В. В. Компаниец, М. И. Коркесов, И. И. Надыров, М. В. Петрова, В. А. Петров, Е. И. Прутковский, В. А. Синицкая, В. Н. Фомина, П. А. Шемякин (§ 7-Б.д), В. Н. Черняк (приложение II и III), Л. Е. Аллотовский, А. Е. Гельтман, Г. А. Кемельман, Л. И. Кропп, Е. И. Сухарев, А. В. Чубарова (приложение II), М. Г. Крюкова (приложение V), Б. Н. Пуганов (приложение III), Е. Я. Титова, А. Д. Горбаненко (гл. 2 и 5).

Значения единиц, основанных на килограмм-силе и калории, в единицах СИ, кратных и дольных от них

Наименование величины	Обозначение	Значение в единицах, основанных на килограмм-силе и калории	Значение в единицах СИ, кратных и дольных от них
Давление	$p$	1 кгс/см <sup>2</sup>	0,0980665 МПа
Энтальпия (удельная)	$I, i$	1 ккал/кг	4,1868 КДж/кг
Теплоемкость (удельная)	$c$	1 ккал/(кг·°C) 1 ккал/(м <sup>2</sup> ·°C)	4,1868 КДж/(кг·К) 4,1868 КДж/(м <sup>2</sup> ·К)
Коэффициент динамической вязкости	$\mu$	1 кгс/сек/м	9,80665 Па·с
Коэффициент теплопроводности	$\lambda$	1 ккал/(м·ч·°C)	1,163 Вт/(м·К)
Коэффициент теплоотдачи, теплопередачи	$a, k$	1 ккал/(м <sup>2</sup> ·ч·°C)	1,163 Вт/(м <sup>2</sup> ·К)
Тепловое напряжение объема топки	$q_V$	1 ккал/(м <sup>2</sup> ·ч)	1,163 Вт/м <sup>2</sup>
Тепловое напряжение площади сечения топки	$q_F$	1 ккал/(м <sup>2</sup> ·ч)	1,163 Вт/м <sup>2</sup>

## СОДЕРЖАНИЕ

<p><b>Предисловие</b></p> <p><b>Глава первая. Общие положения</b></p> <p><b>Глава вторая. Топливо</b></p> <ul style="list-style-type: none"> <li>2-А. Твердое и жидкое топливо</li> <li>2-Б. Газообразное топливо</li> <li>2-В. Смеси топлив</li> <li>2-Г. Расчетные характеристики топлива</li> </ul> <p><b>Глава третья. Физические характеристики рабочих тел, используемые в тепловом расчете котельных агрегатов</b></p> <p><b>Глава четвертая. Объемы и энталпии воздуха и продуктов сгорания</b></p> <ul style="list-style-type: none"> <li>4-А. Расчет объемов и энталпий</li> <li>4-Б. Коэффициент избытка воздуха и присосы в котельном агрегате</li> </ul> <p><b>Глава пятая. Тепловой баланс котельного агрегата</b></p> <p><b>Глава шестая. Расчет теплообмена в топке</b></p> <ul style="list-style-type: none"> <li>6-А. Геометрические характеристики топок</li> <li>6-Б. Степень черноты факела</li> <li>6-В. Расчет теплообмена в однокамерных и полуоткрытых топках</li> <li>6-Г. Расчет теплообмена в двухкамерных топках</li> <li>6-Д. Позиционный тепловой расчет топочной камеры</li> </ul> <p><b>Глава седьмая. Расчет конвективных и ширмовых поверхностей нагрева</b></p> <ul style="list-style-type: none"> <li>7-А. Основные уравнения</li> <li>7-Б. Коэффициент тепlop передачи</li> <li>7-В. Температурный напор</li> </ul> <p><b>Глава восьмая. Рекомендации по методике расчета котельного агрегата</b></p> <ul style="list-style-type: none"> <li>8-А. Порядок и последовательность расчета</li> <li>8-Б. Расчет топки</li> <li>8-В. Расчет перегревателя</li> <li>8-Г. Расчет переходной зоны прямоточных котлов докритического давления</li> <li>8-Д. Расчет котельных пучков и фестона</li> <li>8-Е. Расчет вторичного перегревателя</li> <li>8-Ж. Расчет экономайзера</li> <li>8-З. Расчет воздухоподогревателя</li> </ul> <p><b>ПРИЛОЖЕНИЯ</b></p> <p><b>Приложение I. Установные обозначения</b></p> <p><b>Приложение II. Краткие указания по проектированию топочных устройств и поверхностей нагрева</b></p> <ul style="list-style-type: none"> <li>А. Топочные устройства</li> <li>Б. Поверхности нагрева</li> </ul> <p><b>Приложение III. Указания по проектированию и расчету пароохладителей и теплообменников</b></p> <ul style="list-style-type: none"> <li>А. Впрыскивающие пароохладители</li> <li>Б. Паропаровые теплообменники</li> <li>В. Газопаропаровые теплообменники</li> <li>Г. Теплообменники для получения «собственного» конденсата и поверхностные пароохладители</li> </ul> <p><b>Приложение IV. Определение расчетной температуры металла стенок труб</b></p> <p>Рекомендации по расчету температуры стенок труб цельносварных панелей</p> <p>Расчет при тепловой и (или) геометрической асимметрии</p> <p>Рекомендации по расчету температуры стеки оцинкованной трубы</p> <p><b>Приложение V. Расчет теплообмена в однокамерных топках по методу ВТИ—ЭНИН</b></p> <p><b>Приложение VI. Расчет теплообмена в двухкамерных топках по методу ЦКТИ</b></p> <p><b>Приложение VII. Расчет воздухоподогревателя с промежуточным теплоносителем</b></p>	<p><b>3 Приложение VIII. Примерные тепловые расчеты</b></p> <ul style="list-style-type: none"> <li>А. Тепловой расчет котельного агрегата <math>D=950 \text{ т/ч}</math>, работающего на донецком угле марки Г (отсев)</li> <li>Б. Позиционный расчет топочной камеры</li> <li>В. Расчет топочной камеры с ширмами, включенными в активный объем топки</li> <li>Г. Примеры расчета температуры металла стенок труб</li> </ul> <p><b>13 Приложение IX. Тепловой расчет двухкамерной топки котельного агрегата <math>D=220 \text{ т/ч}</math> на пыли ангиренского бурого угля</b></p> <p><b>15 Приложение X. Автоматизация поверочного теплового расчета</b></p> <ul style="list-style-type: none"> <li>А. Общие положения</li> <li>Б. Математические методы решения задачи на ЭВМ и рекомендации по программированию</li> <li>В. Общая расчетная схема котлоагрегата</li> <li>Г. Исходная информация для теплового расчета котлоагрегата из ЭВМ</li> <li>Д. Объем и вид информации по результатам расчета</li> </ul> <p style="text-align: center;"><b>ТАБЛИЦЫ</b></p> <p>33 I. Расчетные характеристики твердых и жидкых топлив</p> <p>35 II. Расчетные характеристики газообразных топлив</p> <p>36 III. Средняя теплоемкость воздуха и газов <math>c, \text{ ккал}/(\text{м}^3 \cdot ^\circ\text{C})</math>, от 0 до <math>t, ^\circ\text{C}</math></p> <p>49 IV. Физические характеристики воздуха и дымовых газов среднего состава</p> <p>53 V. Коэффициент динамической вязкости воды и водяного пара <math>\mu \cdot 10^6, (\text{кгс} \cdot \text{сек})/\text{м}^2</math></p> <p>55 VI. Коэффициент теплопроводности воды и водяного пара <math>\lambda \cdot 10^3, \text{ ккал}/(\text{м} \cdot \text{ч} \cdot ^\circ\text{C})</math></p> <p>56 VII. Критерий <math>P_f</math> физических свойств воды и водяного пара</p> <p>58 VIII. Физические характеристики газообразных топлив</p> <p>59 IX. Средняя теплоемкость горючих газов <math>c, \text{ ккал}/(\text{м}^3 \cdot ^\circ\text{C})</math>, от 0 до <math>t, ^\circ\text{C}</math></p> <p>61 X. Физические характеристики мазутов</p> <p>65 XI. Ха. Коэффициент теплопроводности мазутов, <math>\text{ккал}/(\text{м} \cdot \text{ч} \cdot ^\circ\text{C})</math></p> <p>65 XII. Объемы воздуха и продуктов сгорания твердых и жидкых топлив, <math>\text{м}^3/\text{кг}</math>, при <math>\alpha=1, 0^\circ\text{C}</math> и <math>760 \text{ мм рт. ст.}</math></p> <p>71 XIII. Объемы воздуха и продуктов сгорания газообразных топлив, <math>\text{м}^3/\text{кг}</math>, при <math>\alpha=1, 0^\circ\text{C}</math> и <math>760 \text{ мм рт. ст.}</math></p> <p>76 XIV. Энталпии <math>1 \text{ м}^3</math> воздуха и газов и <math>1 \text{ кг}</math> золы</p> <p>77 XV. Энталпии воздуха и продуктов сгорания на <math>1 \text{ кг}</math> твердых и жидких топлив при <math>\alpha=1, \text{ ккал}/\text{кг}</math></p> <p>79 XVI. Энталпии воздуха и продуктов сгорания на <math>1 \text{ м}^3</math> газообразных топлив при <math>\alpha=1, 0^\circ\text{C}</math> и <math>760 \text{ мм рт. ст.}</math></p> <p>86 XVII. А. Присосы воздуха в газоходах котельных агрегатов при номинальной нагрузке</p> <p>86 Б. Средние значения <math>\Delta \sigma_{av}</math> для систем пылеприготовления</p> <p>87 XVIII. А. Расчетные характеристики камерных топок с твердым шлакоудалением для котельных агрегатов производительностью <math>75 \text{ т/ч}</math> и выше при сжигании пылевидного топлива</p> <p>88 Б. Расчетные характеристики камерных топок с твердым шлакоудалением для котельных агрегатов производительностью</p> <p style="text-align: right;">95</p> <p style="text-align: right;">95</p> <p style="text-align: right;">112</p> <p style="text-align: right;">119</p> <p style="text-align: right;">122</p> <p style="text-align: right;">136</p> <p style="text-align: right;">145</p> <p style="text-align: right;">145</p> <p style="text-align: right;">146</p> <p style="text-align: right;">151</p> <p style="text-align: right;">151</p> <p style="text-align: right;">151</p> <p style="text-align: right;">152</p> <p style="text-align: right;">168</p> <p style="text-align: right;">170</p> <p style="text-align: right;">170</p> <p style="text-align: right;">171</p> <p style="text-align: right;">172</p> <p style="text-align: right;">174</p> <p style="text-align: right;">175</p> <p style="text-align: right;">175</p> <p style="text-align: right;">175</p> <p style="text-align: right;">176</p> <p style="text-align: right;">179</p> <p style="text-align: right;">179</p> <p style="text-align: right;">180</p> <p style="text-align: right;">192</p> <p style="text-align: right;">198</p> <p style="text-align: right;">199</p> <p style="text-align: right;">200</p>
--	--

- 50–25 т/ч при сжигании пылевидного топлива
- XVIII.** Расчетные характеристики открытых и полуоткрытых топок с жидким шлакоудалением для котельных агрегатов производительностью выше 75 т/ч
- XIX.** Расчетные характеристики низкотемпературных и двухкамерных топок
- XX.** Расчетные характеристики камерных топок котлов производительностью выше 75 т/ч для сжигания горючих газов и мазутов
- XXI.** Расчетные характеристики слоевых механизированных топок
- XXII.** Степень выгорания топлива В по высоте топки (по поданному топливу)
- XXIII.** Удельные объемы и энталпии сухого насыщенного пара и воды на кривой насыщения
- XXIV.** Удельные объемы и энталпии воды
- XXV.** Удельные объемы и энталпии перегретого пара при докритическом давлении
- XXVI.** Удельные объемы и энталпии при сверхкритическом давлении
- XXVII.** Удельные объемы и энталпии в критической и околоскритической областях

### НОМОГРАММЫ

1. Угловые коэффициенты экранов	240	23. Приведенные коэффициенты теплоотдачи чугунного ребристого плитчатого воздухонагревателя Кусинского завода	265
2. Степень черноты продуктов горения	241	24. Коэффициент эффективности ребер	266
3. К определению коэффициента ослабления лучей трехтомными газами	242	25. Коэффициент теплоотдачи конвекцией коридорных пучков труб с поперечными ленточными и шайбовыми ребрами	267
4. К определению коэффициента ослабления лучей золотыми частицами	243	26. Коэффициент теплоотдачи конвекцией шахматных пучков труб с поперечными ленточными и шайбовыми ребрами	268
5. Коэффициенты, характеризующие неравномерность освещенности ширм	244	27. Коэффициент теплоотдачи конвекцией шахматных пучков труб с плавниками	269
6. Степень черноты камерных топок	245	28. Коэффициент теплоотдачи конвекцией шахматных пучков труб с проволочным обребением	270
7. Расчет теплопередачи в однокамерных и полуоткрытых топках	246	29. Температурный напор при последовательно-смешанном токе	271
8. Безразмерная разность температур в шлаковой пленке	247	30. Температурный напор при параллельно-смешанном токе	271
9. Эффективная поглощательная способность гладкотрубных экранов	248	31. Температурный напор при перегностичном токе	272
10. Расчет теплопередачи в камере охлаждения двухкамерных топок, а также в однокамерных и полуоткрытых топках по методу ВТИ–ЭНИН	249	32. Определение длины защитной рубашки вспомогающих пароохладителей	273
11. Коэффициент распределения тепловосприятия по высоте топки	250	33. Коэффициент теплоотдачи при конденсации пара в пучке горизонтальных труб	274
12. Коэффициент теплоотдачи конвекцией при поперечном омывании коридорных гладкотрубных пучков	251	34. Коэффициент теплоотдачи при конденсации пара, движущегося вдоль вертикальной трубы	275
13. Коэффициент теплоотдачи конвекцией при поперечном омывании шахматных гладкотрубных пучков	252	35. Коэффициент теплоотдачи при сверхкритическом давлении в области больших теплоемкостей	276
14. Коэффициент теплоотдачи конвекцией при продольном омывании для воздуха и дымовых газов	253	36. Коэффициент теплоотдачи при продольном омывании для кипящей воды	277
15. Коэффициент теплоотдачи конвекцией при продольном омывании для перегретого пара в докритической области	254	37. Угловые коэффициенты ширмовых и змеевиковых поверхностей нагрева	278
16. Коэффициент теплоотдачи конвекцией при продольном омывании для некипящей воды	255	38. Коэффициент облученности точек с максимальным тепловосприятием (для труб ширм)	278
17. Коэффициент теплоотдачи конвекцией для пластинчатых воздухонагревателей при $Re < 10000$	256	39. Коэффициент облученности точек с максимальным тепловосприятием (для труб коридорных пучков)	279
18. Коэффициент теплоотдачи конвекцией для регенеративных воздухонагревателей	257	40. Коэффициент облученности точек с максимальным тепловосприятием (для труб шахматных пучков)	280
19. Коэффициент теплоотдачи излучением	258	41. Коэффициент расточки для труб конвективных поверхностей нагрева	281
20. Коэффициент теплопередачи чугунных ребристых волнистых экономайзеров ВТИ и ЦККБ	259	42. Коэффициент расточки для экранов труб ( $\epsilon \geq 0$ )	282
21. Приведенные коэффициенты теплоотдачи с газовой стороны чугунных ребристых и ребристо-зубчатых воздухонагревателей	260	43. Коэффициент расточки для труб двусветных экранов	282
22. Приведенные коэффициенты теплоотдачи с воздушной стороны чугунных ребристых и ребристо-зубчатых воздухонагревателей	261	44. Коэффициент расточки в лобовых ширмовых трубах при двустороннем облучении	282
	262	45. Коэффициент расточки в корне плавника радиационных поверхностей нагрева	283
	263	46а. Поправка на смещение плавника $C_s$	284
	264	46б. Коэффициент учета влияния сварных швов $K_s$	284
	265	47. Коэффициент расточки $\mu_{\text{вн}}$ в вершине плавника	284
	266	48. Коэффициент формы плавника $A$	285
	267	49. Поправка к коэффициенту расточки $\Delta \mu_d$ при двустороннем облучении	286
	268	50. Коэффициент расточки в лобовой точке радиационных труб при конвективном теплопередаче	286
	269	51. Коэффициент расточки в корне плавника при конвективном тепловосприятии	287
	270	52. Относительная средняя тепловая нагрузка плавниковой трубы (без учета плавников)	288
	271	53. Параметр $a$	288
	272	54. Коэффициент $M$	289
	273	55. Коэффициент расточки $\mu_{\text{вн}}$ в корне перемычки	289
	274	56. Коэффициент $I_0$	290
	275	57. Коэффициент расточки $\mu_a^{(0)}$ (для труб равных диаметров)	291
	276	58. Поправка $\Delta \mu_d$ к коэффициенту расточки $\mu_a^{(0)}$	292
	277	59. Коэффициент $K_d$	292
	278	60. Коэффициент концентрации теплового потока в ножке шила	293
	279	61. Коэффициент расточки для оцинкованной трубы	294
	280	62. Комплекс $A$	295

## ГЛАВА ПЕРВАЯ ОБЩИЕ ПОЛОЖЕНИЯ

1-01. «Тепловой расчет котельных агрегатов» содержит методические указания, справочные материалы, расчетные формулы и nomogramмы, необходимые для выполнения поверочного и конструктивного (проектного) тепловых расчетов стационарных котельных агрегатов.

Методика поверочного и конструктивного расчетов является в основном общей. Различие заключается в заданиях расчета и искомых величинах.

1-02 В поверочном тепловом расчете по принятой конструкции и размерам котельного агрегата для заданных нагрузки и вида топлива определяют температуру воды, пара, воздуха<sup>1</sup> и газов на границах между отдельными поверхностями нагрева, коэффициент полезного действия, расход топлива, расход и скорость воздуха и дымовых газов.

Поверочный расчет производят для оценки показателей экономичности и надежности агрегата при работе на заданном топливе, выявления необходимых реконструктивных мероприятий, выбора вспомогательного оборудования и получения исходных материалов для проведения расчетов: аэродинамического, гидравлического, температур металла и прочности труб, интенсивности золового износа труб, коррозии и др.

1-03 При конструктивном (проектном) расчете определяют размеры топки и поверхностей нагрева отдельных элементов агрегата, необходимые для обеспечения номинальной паропроизводительности<sup>1</sup>, принятых показателей экономичности и заданных параметров пара при заданных температуре питательной воды и характеристиках топлива. Конструктивный расчет также дает исходные материалы для выбора вспомогательного оборудования и для аэродинамиче-

<sup>1</sup> Номинальной паропроизводительностью называется наибольшая производительность, которую агрегат должен обеспечивать в длительной эксплуатации при номинальных величинах параметров пара и питательной воды.

ского, гидравлического, прочностного и других расчетов надежности.

1-04. Расчетное задание для поверочного теплового расчета котельного агрегата должно содержать следующие сведения и исходные данные:

а) чертежи котельного агрегата и сведения о конструкции и размерах топочного устройства, поверхностей нагрева и газоходов, необходимые для определения конструктивных характеристик, используемых в расчете;

б) характеристики топлива в соответствии с требованиями, приведенными в гл. 2;

в) паропроизводительность агрегата, давление и температуру питательной воды и перегретого пара у главной выходной задвижки;

г) расход и параметры вторичного пара из входе и выходе из промежуточного перегревателя (при его наличии);

д) расход насыщенного пара (при отборе пара из барабана котла);

е) величину непрерывной продувки;

ж) данные расчета системы пылеприготовления: количество аэросмеси, первичного воздуха и топочных газов, отбиравшихся на сушку; количество присосанного воздуха в системе пылеприготовления; влажность и температуру пыли.

1-05. При конструктивном (проектном) тепловом расчете задание должно содержать следующие исходные данные:

а) сведения о системе пылеприготовления, типе топочного устройства и компоновке агрегата;

б) пункты «б»—«ж» те же, что в задании на поверочный тепловой расчет.

Температуру уходящих газов и горячего воздуха указывают в задании или выбирают в соответствии с рекомендациями приложения II и конкретными условиями проектирования.

Температуру газов в конце топки и по газоходам, скорость газов, воды и пара, энталпию воды и пара в отдельных промежуточных точках пароводяного тракта выбирают на основе рекомендаций приложения II с учетом конкретных условий.

## ГЛАВА ВТОРАЯ ТОПЛИВО

### 2-А. ТВЕРДОЕ И ЖИДКОЕ ТОПЛИВО

#### а) Термогорение

2-01. Теплота горения твердого и жидкого топлива принимается по данным калориметрических определений. Использование для расчета значений теплоты горения, подсчитанных по составу топлива при помощи эмпирических формул, не рекомендуется.

2-02. Теплота горения высшая  $Q_a$  вычисляется по величине теплоты горения в калориметрической

бомбе  $Q_b$ , исправленной с учетом кислотообразования при горении:

$$Q_a = Q_b - 22,5S_6 - 0,0015Q_b \text{ ккал/кг}, \quad (2-01)$$

где  $22,5S_6$  — теплота, выделяющаяся при окислении продуктов горевшей в бомбе серы  $S_6$ , %, от  $\text{SO}_2$  до  $\text{SO}_3$  и растворения последней в воде;  $0,0015Q_b$  — теплота образования язотной кислоты в бомбе для каменных и бурых углей. Для углей марок Т, ПА, А и жидкого топлива эта величина равна  $0,001Q_b$ .

2-03. Теплота горения низшая  $Q_n$  находится вычитанием из теплоты горения высшей  $Q_a$  тепло-

ты парообразования, условно принимаемой равной 600 ккал/кг:

$$Q_a = Q_b - 6(W + 9H), \text{ ккал/кг.} \quad (2-02)$$

**2-04.** При сжигании в калориметрической бомбе сланцев и других топлив, содержащих карбонаты, последние в большинстве случаев разлагаются практически полностью. Поэтому теплота сгорания при калориметрировании определяется с учетом теплового эффекта разложения карбонатов  $[-9.7(\text{CO}_2)_n]$ , ккал/кг.

*б) Различные массы топлива и пересчет характеристик с одной массы на другую*

**2-05.** Характеристики топлива могут быть отнесены к рабочей массе топлива (обозначаемой индексом «р»), т. е. к топливу в том виде, в каком оно поступает для потребления (в котельную, из пылезавод и т. п.);

к сухой массе (индекс «с»), т. е. к топливу, не содержащему влаги ( $W=0$ );

к горючей массе (индекс «г»), т. е. к сумме элементов, составляющих органическую массу топлива, и колчеданной сере.

Для всех топлив, кроме содержащих большое количество карбонатов, за горючую массу условно принимают  $(100-W-A)$ , где 100 — рабочая или аналитическая масса топлива, %.

Для топлив с большим содержанием карбонатов (свыше 2%) за горючую массу принимается

$$100-W-A_{\text{корр}}-(\text{CO}_2)_n,$$

где  $(\text{CO}_2)_n$  — содержание двуокиси углерода карбонатов, %;

$A_{\text{корр}}$  — зольность без учета сульфатов, образовавшихся при разложении карбонатов, и с поправкой на сгорание серы колчедана, %;

$$A_{\text{корр}} = A^p - [2.5(S_n - S_{\text{ср}})^c + 0.375cS_n] \times \\ \times \left(1 - \frac{W^p}{100}\right), \% \quad (2-03)$$

где  $S_n$  — содержание серы в лабораторной золе, в процентах к массе топлива;

$S_{\text{ср}}$  — содержание сульфатной серы в топливе;

$S_n$  — содержание колчеданной серы в топливе.

При отсутствии лабораторных данных о содержании сульфатов величину  $[2.5(S_n - S_{\text{ср}})^c + 0.375cS_n]$  принимают равной для эстонских и гдовских сланцев 2.0, каширских — 4.1.

Такой условный расчет объясняется тем, что при горении топлив с большим содержанием карбонатов последние (в основном  $\text{CaCO}_3$ , а также  $\text{MgCO}_3$  и  $\text{FeCO}_3$ ) разлагаются на окисел металла и  $\text{CO}_2$ . Окисел металла остается в золе и в результате частичного присоединения окислов серы образует сульфаты.

Из определений каждой массы топлива следуют соотношения:

$$\text{C}^p + \text{H}^p + \text{N}^p + \text{O}^p + \text{S}^p + \text{S}^p_{\text{корр}} + A^p + W^p = 100\%;$$

$$\text{C}^c + \text{H}^c + \text{N}^c + \text{O}^c + \text{S}^c + \text{S}^c_{\text{корр}} + A^c = 100\%;$$

$$\text{C}^r + \text{H}^r + \text{N}^r + \text{O}^r + \text{S}^r + \text{S}^r_{\text{корр}} = 100\%.$$

Пересчет состава топлива, выхода летучих и теплоты сгорания (в бомбе и высшей) с одной массы топлива на другую производится при помощи множителей, приведенных в табл. 2-1.

Заданная масса топлива	Искомая масса топлива		
	рабочая	сухая	горючая
Рабочая	1	$100 - W^p$	$100 - W^p - A^p$
Сухая	$100 - W^p$	1	$100 - A^c$
Горючая	$100 - W^p - A^p$	$100 - A^c$	1

**2-06.** Элементарный состав и теплота сгорания (в бомбе и высшей) рабочей массы влажностью  $W^p_1$  из массы влажностью  $W^p_2$  пересчитываются путем умножения на отношение  $\frac{100 - W^p_2}{100 - W^p_1}$  и зольность  $A^p_2$  на зольность  $A^p_1$  (при  $W^p = \text{const}$ ) — умножением на  $\frac{100 - A^p_2}{100 - A^p_1}$ .

Для сланцев пересчет состава (С, Н, Н, О, S<sub>н</sub>, S<sub>ор</sub>) и теплоты сгорания (в бомбе и высшей) с рабочей массы на горючую производится при помощи множителя

$$\frac{100 - A^p_{\text{корр}} - (\text{CO}_2)_n^p}{100 - A^p_{\text{корр}} - (\text{CO}_2)_n^{p_2}}.$$

Пересчет данных состава и теплоты сгорания (в бомбе и высшей) с рабочей массы, характеризующейся зольностью  $A^p_1$  и содержанием двуокиси углерода карбонатов  $(\text{CO}_2)_n^p$ , на рабочую массу с  $A^p_2$  и  $(\text{CO}_2)_n^{p_2}$  производится при помощи множителя

$$\frac{100 - A^p_{\text{корр}} - (\text{CO}_2)_n^{p_2}}{100 - A^p_{\text{корр}} - (\text{CO}_2)_n^p}.$$

**2-07.** Низшая теплота сгорания топлива подсчитывается по формулам:

$$Q^p_n = Q^p_b - 6(W^p + 9H^p), \text{ ккал/кг;} \quad (2-04)$$

$$Q^c_n = Q^c_b - 54H^c, \text{ ккал/кг;} \quad (2-05)$$

$$Q^r_n = Q^r_b - 54H^r, \text{ ккал/кг;} \quad (2-06)$$

$$Q^p_n = Q^r_b \frac{100 - W^p - A^p}{100} - 6W^p, \text{ ккал/кг.} \quad (2-07)$$

Низшая теплота сгорания рабочей массы топлива влажностью  $W^p_1$  пересчитывается на массу влажностью  $W^p_2$  по формуле

$$Q^p_{n2} = (Q^p_{n1} + 6W^p_1) \frac{100 - W^p_2}{100 - W^p_1} - 6W^p_2, \text{ ккал/кг.} \quad (2-08)$$

При изменении зольности рабочей массы пересчет  $Q^p_n$  производится согласно п. 2-06.

При одновременном изменении влажности и зольности для пересчета  $Q^p_n$  используется формула

$$Q^p_{n2} = (Q^p_{n1} + 6W^p_1) \frac{100 - W^p_2 - A^p_2}{100 - W^p_1 - A^p_1} - 6W^p_2, \text{ ккал/кг.} \quad (2-09)$$

## а) Классификация углей

2-08. В соответствии с существующим ГОСТ ископаемые угли делятся на три основных типа: бурые, каменные и антрацит. Переходным типом между каменными углами и антрацитом является полуантрацит.

2-09. К бурым углам (марка Б) относят угли с высшей теплотой горения рабочей массы беззолного угля  $Q_{r,0} = 100 - A_p < 5700 \text{ ккал/кг}$ . По этому же признаку выделяют бурые угли и в международной классификации ископаемых углей.

В СССР бурые угли по содержанию в них рабочей влаги разделяют на три группы: Б1 — содержащие рабочую влагу более 40%; Б2 — от 30,0 до 40%; Б3 — до 30,0%. Бурые угли по сравнению с каменными характеризуются высоким выходом летучих ( $V_r > 40\%$ ), неспекшимся коксовым остатком, высокой гигроскопической и в большинстве случаев высокой общей влажностью, пониженным содержанием углерода и повышенным кислорода. Они легко теряют на воздухе влагу и механическую прочность, превращаясь при этом в мелочь, и обладают повышенной склонностью к самовозгоранию.

2-10. К каменным относят угли с высшей теплотой горения рабочей массы беззолного угля  $Q_{r,0} = 100 - A_p > 5700 \text{ ккал/кг}$  и, в отличие от антрацитов и полуантрацитов, с высоким выходом летучих веществ ( $V_r > 9\%$ ). Основная масса их в разной степени спекается, в то же время угли, с выходом летучих выше 42—45% (длиннопламенные) и менее 17% (точные), не спекаются.

Каменные угли делятся на марки в основном по выходу летучих веществ  $V_r$  и толщине пластического слоя  $y$ . Нижний предел величины  $y$ , выраженный в миллиметрах, ставится в качестве индекса к обозначению марки угля. Например: Г<sub>10</sub> — газовый, минимальная толщина пластического слоя 10 мм и т. д.

Действующий ГОСТ различают марки каменных углей (табл. 2-2).

Числовые значения величин  $V_r$  и  $y$  углей одной и той же марки различны у топлив разных бассейнов или месторождений. Они указаны в классификациях каменных углей по бассейнам и месторождениям.

Таблица 2-2

Марка углей	Обозначение	Выход летучих веществ на горючую массу $V_r$ , %	Характеристика велетучего остатка
Длиннопламенный	Д	36 и более	От порошкообразного до слабоспекшегося спекшийся
Газовый	Г	35 и более	
Газовый жирный	ГЖ	Более 31 (до 37)	*
Жирный	Ж	24—37	*
Коксовый жирный	КЖ	25—33	*
Коксовый	К	17—33	*
Отщепленный спекающийся	ОС	14—27	*
Точный	Т	9—17*	От порошкообразного до слабоспекшегося то же
Слабоспекающийся	СС	17—37	то же

\* Для дальневосточных углей марки Т  $V_r = 5—20\%$ .

В ряде случаев угли марок Г, ГЖ, Ж, КЖ, К и ОС делятся для одного и того же бассейна или месторождения на группы по нижнему пределу величины  $y$ , который ставят в качестве индекса к обозначению данных марок углей.

Угли, у которых толщина пластического слоя не может быть замерена, относятся при высоком выходе летучих веществ (обычно 37% и более) к длиннопламенным Д, при низком выходе летучих веществ (обычно 17% и менее) — к точным углям Т.

Кузнецкие угли, добываемые в шахтах, при промежуточном выходе летучих веществ (от 17 до 37%) и отсутствии пластического слоя относят к марке СС, при  $V_r = 25 \pm 37\%$  их обозначают ИСС, при  $V_r$  от 17 до 25% — 2СС.

2-11. К полуантрацитам (марка ПА) и антрацитам (марка А) относят угли, имеющие выход летучих веществ в условной горючей массе менее 9%. Полуантрациты от антрацитов отличаются объемным выходом летучих веществ в условной горючей массе ( $V_{r,0}$ ): полуантрациты — от 220 до 330, антрациты — менее 220 см<sup>3</sup>/г. Полуантрациты обладают более высокой теплотой горения ( $Q_{r,0} > 8350 \text{ ккал/кг}$ ), тогда как средняя теплота горения антрацитов  $Q_{r,0} = 8100 \text{ ккал/кг}$ .

2-12. При рассортовании по крупности (грохочении) ископаемые угли и горючие сланцы разделяются на классы, приведенные в табл. 2-3.

К условному обозначению марки угля приписывают условное обозначение класса, например бурый, крупный — БК, газовый, орех — ГО, антрацит, семечко — АС.

Смеси углей различных по крупности классов обозначают следующим способом: БОМ — бурий, орех с мелочью, БМСШ — бурий, мелкий, с семечком и штыбом, АСШ — антрацит, семечко со штыбом и пр.

При грохочении углей и горючих сланцев, кроме указанных выше классов, получаются также отсевы, размер кусков которых меньше определяемого.

Мелочью для грохоченных углей считаются куски размером менее нижнего предела, установленного для каждого класса, а для углей классов 0—25 и 0—50 мм и рядовых — менее 6 мм.

2-13. Часть углей, преимущественно спекающихся, используемых для коксования, подвергается обогащению — сухому или мокрому — с выделением малозольного концентрата (главным образом, для коксования), высокозольного ( $A^o > 40—45\%$ ) промпродукта (для энергетических целей) и очень высокозольных ( $A^o > 45\%$ ) хвостов, удаляемых в отвалы.

При мокром обогащении углей выделяется как самостоятельный продукт шлам (класс 0—3 мм), который после подсушки используется для сжигания.

2-14. Все приведенной выше схемы классификации ископаемых углей остаются геологически окисленные каменные и бурые угли. Примером первых являются угли, добываемые в разрезах Кузнецкого бассейна,

Таблица 2-3

Класс угля	Обозначение	Размер кусков, мм
Плита	П	Более 100
Крупный	К	50—100
Орех	О	25—50
Мелкий	М	13—25
Семечко	С	6—13
Штыб	Ш	Менее 6
Рядовой	Р	До 300

вторых — сажистые угли Подмосковного бассейна. Окисленными являются также угли практически всех новых разрабатываемых месторождений Средней Азии и особенно Ангрема, Кызыл-Кия, Сулакты, Шураба (маркируемые как бурие).

Окисленные каменные угли характеризуются полной или частичной потерей спекаемости, тогда как при выходе летучих  $V_f = 17-40\%$  некисленные каменные угли обладают этим свойством. У всех окисленных углей пониженные (иногда на 1000—2000 ккал/кг) теплота сгорания и содержание водорода (при сильной окисленности). За редким исключением они обладают малой механической прочностью и повышенной склонностью к окислению и самовозгоранию.

### 2) Классификация торфа

**2-15. Торф как топливо должен удовлетворять следующим требованиям (табл. 2-4).**

Таблица 2-4

Характеристика торфа	Вид торфа	
	Фрезерный	кусковой
Содержание влаги $W_f$ , %, не более:		
I группа	50	45
II группа	52	48
Зольность $A_f$ , %, не более . . .	23*	23*
Засоренность посторонними примесями (куски размером свыше 25 мм), %, не более . . .	10	—
Содержание мелочи (куски размером менее 25 мм), % . . .	—	30

\* Предприятия торфной промышленности Украинской и Волго-русской ССР должны поставлять торф только I группы.

\* Для предприятий Украинской ССР, Удмуртской АССР и Тамбовской области допускается поставка торфа зольностью более 23%, но не выше 35%.

### 3) Классификация жидкого топлива

**2-16. В соответствии с действующим ГОСТ 10585-63 в качестве жидкого котельного топлива применяется остаточный продукт нефтепереработки: мазут трех марок — 40, 100 и 200.**

Марка топлива определяется предельной вязкостью, составляющей при 80 °C для мазута 40—80; для мазута 100—155; для мазута 200—6,5—9,5 град. усл. вязкости (УВ) при 100 °C.

Мазут 200 поставляется (по согласованию с заказчиком) только по трубопроводам непосредственно с нефтеперерабатывающих заводов. Запрещается разлив его открытым паром.

Предельная зольность мазутов 40 и 100 установлена 0,15, мазута 200—0,30%.

По содержанию серы мазуты разделяются на мало-сернистые (до 0,5%), сернистые (до 2,0%) и высокосернистые (до 3,5%). Предельная норма содержания серы может быть повышена до 4,3% для мазутов, вырабатываемых из ардано-чекмагушской, серноводской и бугурусланской нефти.

В ряде случаев в качестве котельного топлива используется низкокачественная сырья или обессолененная и отбеленная нефть. Эти жидкое топливо резко отличаются от мазута по содержанию легких фракций, в связи с чем они требуют специально оборудованного мазутного хозяйства.

## 2-Б. ГАЗООБРАЗНОЕ ТОПЛИВО

**2-17. Газообразное топливо представляет собой смесь горючих и негорючих газов, содержащую некоторое количество примесей в виде водяных паров, смолы и пыли.**

**2-18. Состав газообразного топлива задается в процентах по объему, и все расчеты относятся к кубическому метру сухого газа при нормальных условиях (760 мм рт. ст. и 0 °C). Содержание примесей (водяных паров, смолы, пыли) выражается в г/м<sup>3</sup> сухого газа.**

**2-19. Теплота сгорания газообразного топлива принимается по данным калориметрических определений. При отсутствии таких данных теплота сгорания 1 м<sup>3</sup> газа при нормальных условиях подсчитывается по формуле смещения:**

$$Q_n = 0,01 [Q_{H_2} H_2 S + Q_{CO} CO + Q_{H_2} H_2 + \\ + \Sigma (Q_{C_m H_n} C_m H_n)], \text{ ккал/м}^3. \quad (2-10)$$

где  $Q_{H_2}$ ,  $Q_{CO}$  и т. д. — теплота сгорания отдельных газов, входящих в состав газообразного топлива (табл. 2-5), ккал/м<sup>3</sup>.

Таблица 2-5

Газы	Обозначение	Плотность $\rho$ , кг/м <sup>3</sup>	Теплота сгорания индивидуальная $Q_n$ , ккал/м <sup>3</sup>
Водород	H <sub>2</sub>	0,090	2 579
Азот элементарный	N <sub>2</sub>	1,251	—
Азот воздуха (с примесью аргона)	N <sub>2</sub>	1,257	—
Кислород	O <sub>2</sub>	1,428	—
Оксись углерода	CO	1,250	3 018
Углекислый	CO <sub>2</sub>	1,964	—
Сернистый	SO <sub>2</sub>	2,858	—
Сероводород	H <sub>2</sub> S	1,520	5 585
Метан	CH <sub>4</sub>	0,716	8 555
Этан	C <sub>2</sub> H <sub>6</sub>	1,342	15 226
Пропан	C <sub>3</sub> H <sub>8</sub>	1,967	21 795
Бутан	C <sub>4</sub> H <sub>10</sub>	2,593	28 338
Пентан	C <sub>5</sub> H <sub>12</sub>	3,218	34 800
Этилен	C <sub>2</sub> H <sub>4</sub>	1,251	14 107
Пропилен	C <sub>3</sub> H <sub>6</sub>	1,877	20 541
Бутилен	C <sub>4</sub> H <sub>8</sub>	2,503	27 111
Бензол	C <sub>6</sub> H <sub>6</sub>	3,485	33 528

Приемка: При подсчете  $n$  и  $Q_n$  объем грамм-молекул газа принят равным 22,41 л (так для идеального газа). Значения плотности газа даны при 0 °C и 760 мм рт. ст.

При содержании в топливе до 3% непредельных углеводородов неизвестного состава их принимают состоящими из этилена ( $C_2H_4$ ); для газа коксовых печей  $Q_n$  непредельных углеводородов неизвестного состава принимают равной 17 000 ккал/м<sup>3</sup>.

**2-20. Различные газообразные топлива имеют следующие особенности.**

**Доменный газ** перед поступлением к потребителю подвергается охлаждению и предварительной очистке от пыли в скрубберах или дезинтеграторах. Потребителю подается газ, насыщенный влагой и содержащий 0,1—1,0 (скрубберная очистка) или 0,01—0,3 г/м<sup>3</sup> пыли (очистка в дезинтеграторах). В неочищенном доменном газе имеется 7—12 г/м<sup>3</sup> пыли, а содержание углерода в пыли 3—5%. Доменный газ при выплавке ферросилиция содержит значительно большее

количество пыли, и при сухом способе очистки, рассчитанном на обычный газ, запыленность его получается более высокой. Смолы в доменном газе практически нет.

Газ коксовых печей, как правило, направляется потребителю после очистки от смолы, бензола, нафталина и аммиака («обратный газ»). Он содержит следы смолы, пыли и до 4 г/м<sup>3</sup> бензола. Влагосодержание газа соответствует его насыщению при 25—35 °С. В неочищенном газе имеются 27—32 г/м<sup>3</sup> бензола и следы смолы, нафталина и аммиака.

В природных газах, подаваемых потребителю, практически нет пыли, влагосодержание их зависит от способа обезвоживания до поступления в газопровод и на местах добычи может сильно колебаться. При подаче газа на дальние расстояния влага из него удаляется и влагосодержание его можно считать соответствующим насыщению при температуре и давлении в газопроводе; при применяющихся давлениях влагосодержанием можно пренебречь.

## 2-В. СМЕСИ ТОПЛИВ

**2-21.** При сжигании смеси двух твердых или жидкого топлива, заданной массовыми долями ( $q'$  — массовая доля одного из топлив в смеси), теплоту горения 1 кг смеси подсчитывают по формуле

$$Q^p_n = Q^{p'}_n q' + Q^{p''}_n (1 - q'), \text{ ккал/кг.} \quad (2-11)$$

**2-22.** Если смесь задана в долях по тепловыделению каждого топлива ( $q'$  — доля одного из топлив), то для перехода к массовым долям используется формула

$$q' = \frac{q' Q^{p''}_n}{q' Q^{p''}_n + (1 - q') Q^{p'}_n}. \quad (2-12)$$

**2-23.** При сжигании смеси твердого или жидкого топлива с газообразным расчет для удобства условно ведется не на 1 кг сжигаемой смеси, а на 1 кг твердого или жидкого топлива с учетом количества газа, м<sup>3</sup>, приходящегося на 1 кг.

В этом случае условная теплота горения смеси топлив при  $x$ , м<sup>3</sup>, газа на 1 кг твердого или жидкого топлива подсчитывается по формуле

$$Q^p_n = Q^{p'}_n + x Q^{p''}_n, \text{ ккал/кг,} \quad (2-13)$$

где  $Q^{p'}_n$  и  $Q^{p''}_n$  — соответственно низшая теплота сгорания твердого (или жидкого) топлива, ккал/кг, и газа, ккал/м<sup>3</sup>.

Если смесь задана по долям тепловыделения каждого топлива (доля твердого или жидкого топлива в суммарном тепловыделении  $q'$  и доля газа  $1 - q'$ ), то количество газа, приходящееся на 1 кг твердого или жидкого топлива, составляет:

$$x = \frac{1 - q'}{q'} \cdot \frac{Q^{p''}_n}{Q^{p'}_n}, \text{ м}^3/\text{кг.} \quad (2-14)$$

## 2-Г. РАСЧЕТНЫЕ ХАРАКТЕРИСТИКИ ТОПЛИВА

**2-24.** Для выбора расчетных характеристик топлива проектное задание должно содержать следующее:

для антрацита, каменных и бурых углей и сланцев — месторождение, марку и класс по размеру кусков;

для отходов обогащения углей — месторождение, марку обогащаемого угля и способ обогащения (сухое, мокрое);

для торфа — способ добычи (кусковой, фрезерный);

для древесных отходов — размеры кусков;

для мазута — марку и сернотость;

для искусственного газообразного топлива — вид газа, исходное топливо, способ получения и очистки;

для природного газообразного топлива — газопровод или район добычи, характер месторождения (нефтегазовые скважины, чистогазовые скважины).

Ввиду того что содержание примесей в газообразном топливе, а также температура и давление при поступлении к потребителю подвержены значительным колебаниям, эти величины для конкретных случаев должны быть специально уточнены.

**2-25.** В табл. I и II приведены расчетные характеристики основных видов и марок потребляемых отечественной энергетикой топлив. Данные значения не могут рассматриваться как постоянные и твердо установленные нормативы. Это некоторые средние числа, характеризующие топливо, состав и качество которого изменяются в зависимости от места и времени добычи. Характеристики твердого топлива отличаются, в основном, к рядовому необогащенному и негрохоченному топливу, за исключением грохоченных антрацитов Донбасса.

Помимо средних данных, в табл. I помещены основные характеристики  $W^p$  и  $A^p$  твердого топлива предельно пониженного качества, возможность более или менее длительного поступления которого следует учитывать при проектировании отдельных агрегатов или предприятий, а также указаны предельные значения содержания серы.

В приведенные в табл. I количества летучих веществ, определенные по ГОСТ, входят водяные пары, получающиеся при разложении гидратной воды. Горючие летучие, обусловливающие реакционную способность топлива, находятся по формуле:

$$V^p_{\text{исп}} = \frac{(V^e - W_{\text{пар}}) 100}{100 - (A^e + W_{\text{пар}})}, \%,$$

где

$$W_{\text{пар}} = 0,1 A^e, \%; V^e = V^r \frac{100 - A^p - W^p}{100 - W^p}.$$

В качестве температурных характеристик золы приведены температуры плавкости  $t_1$ ,  $t_2$  и  $t_3$  и параметры, определяющие свойства расплавов золы,  $t_{\text{пл}}$ ,  $\mu_{\text{пл}}$ ,  $t_{\text{пл, реал}}$ :

$t_{\text{пл}}$  — температура начала истинно жидкого состояния<sup>1</sup>, °С, определяется по графикам зависимости вязкость — температура как точка расхождения кривых, полученных при нагреве и охлаждении;

$\mu_{\text{пл}}$  — коэффициент динамической вязкости при температуре начала истинно жидкого состояния, (кгс·сек)/м<sup>2</sup>.

$t_{\text{пл, реал}}$  — температура нормального жидкого шлакоудаления, °С, т. е. температура, до которой должен быть нагрет шлак при вытекании из летки;

$\mu_{\text{пл, реал}}$  — коэффициент динамической вязкости при этой температуре, (кгс·сек)/м<sup>2</sup>.

<sup>1</sup> Истинно жидким называется такое состояние, при котором расплав подчиняется закону течения Ньютона.

При значениях  $\mu_0 \leq 2$  (кгс·сек)/м<sup>2</sup>  $t_{\text{ж}}$  принимается равной  $t_0$ . При значениях  $\mu_0 > 2$  (кгс·сек)/м<sup>2</sup>, что может быть у шлаков с высоким содержанием SiO<sub>2</sub>,  $t_{\text{ж}}$  принимают как температуру, при которой вязкость становится менее 2 (кгс·сек)/м<sup>2</sup>.

Данные  $t_0$ ,  $\mu_0$ ,  $t_{\text{ж}}$  и  $\mu_{\text{ж}}$ , приведенные в табл. I, получены на основании исследований лабораторной зоны топлива.

Химический состав зоны твердых топлив в табл. I дан в расчете на бессульфатную массу. Такой условный расчет объясняется тем, что большая часть сульфатов, содержащихся в лабораторной зоне, образуется вследствие связывания продуктов горения серы с окислами металлов. При сжигании топлива в топках сульфаты не образуются.

Характеристики расплавов и химического состава зоны углей приведены на основании ограниченного количества данных; и поэтому их следует рассматривать как предварительные и подлежащие в дальнейшем корректировке.

2-26. При тепловом расчете сернистых котельных агрегатов характеристики топлива принимаются по табл. I и II. Тепловые расчеты котельных агрегатов, предназначенных для конкретных объектов, при наличии обоснованных данных выполняются с учетом характеристики для этого объекта топлива.

Изменение характеристик топлива в пределах, указанных в табл. 2-6, приводят к отклонению основных результатов теплового расчета агрегата в пределах точности расчета. Поэтому если заданные характеристики (отдельные или несколько одновременно) отличаются от табличных или других значений, предварительно принятых для расчета данного агрегата, на величины, не превышающие указанные в табл. 2-6, то пересчет на топливо заданных характеристик не нужен.

2-27. При сжигании топлива, о котором нет данных в табл. I и II, его расчетные характеристики должны быть установлены на основании анализов проб, специально для этой цели отобранных по соответствующим инструкциям.

Таблица 2-6

Характеристика топлива	Обозначение	Допустимые отклонения для		
		топки угольной и водородной	каминных	буржуйной
Влажность на рабочую массу, %	$W_p$	2	3	4
Зольность на сухую массу, %	$A^*$	8	9	10
Содержание на горючую массу, %:				
углерода	C <sup>r</sup>	8	7	6
водорода	H <sup>r</sup>		0,8	
кислорода	O <sup>r</sup>		2,5	
серы	S <sup>r</sup> <sub>оп-к</sub>	Без ограничений		
Теплота сгорания низшая на горючую массу, ккал/кг	Q <sup>r</sup> <sub>н</sub>	240	210	180

\* Расчетная зольность не должна превышать значение  $A^{\text{max}}$ , указанное в табл. 1.

Анализы проб топлива разделяются на следующие группы, расположенные в порядке убывания надежности их использования для характеристики товарного топлива:

товарные пробы (расчетные, штабельные, эксплуатационные);

пластовые пробы из действующих забоев, штреков и пр.;

пробы из разведочных выработок (шурфов, штолен и т. д.);

буровые (керновые) пробы.

Принятые для установления расчетных характеристик топлива анализы должны отвечать следующим минимальным требованиям:

теплота сгорания должна быть определена по калориметру;

пределы колебаний теплоты сгорания горючей массы  $Q^r_b$  или  $Q^r_n$  разных партий топлива или за различные периоды времени не должны превышать 150—200 ккал/кг;

при проверке соответствия заданного элементарного состава теплоте сгорания горючей массы, вычисленной по формуле Менделеева

$$Q^r_n = 81C^r + 246H^r - 26(O-S)^r \text{ ккал/кг}, \quad (2-15)$$

расхождение с калориметрическим определением не должно превышать 150 ккал/кг для топлива зольностью  $\leq 25\%$  и 200 ккал/кг — для топлива с  $A^r > 25\%$ . Эти расхождения при  $A^r < 25\%$  могут быть как отрицательными, так и положительными, а при  $A^r > 25\%$  результаты подсчета по формуле Менделеева должны быть выше, чем по калориметру.

Для сопоставления различных проб все данные по зольности и содержанию серы ( $S_{\text{об}}$ ,  $S_{\text{ст}}$ ,  $S_n$ ) должны быть пересчитаны на сухую массу, а по элементарному составу, теплоте сгорания и выходу летучих — на горючую массу. В результате такого сопоставления должны быть определены расчетные характеристики топлива.

Содержание влаги рабочей ( $W_p$ ) должно быть принято в основном по товарным и пластовым пробам (если имеется уверенность, что начальная влажность их была сохранена при разделке и пробы были герметично упакованы при доставке в лабораторию). При отсутствии такой уверенности расчетные величины  $W_p$  должны быть приняты по влагоемкости  $W_{\text{внк}}$  (ГОСТ 8858-71).

Зольность  $A^r$ , содержание серы ( $S_{\text{об}}$ ,  $S_{\text{ст}}$ ,  $S_n$ ) и температура плавления зоны должны определяться в основном по товарным пробам.

Для получения остальных характеристик ( $C^r$ ,  $H^r$ ,  $N^r$ ,  $O^r$ ,  $S^r_{\text{оп}}$ ,  $Q^r_n$ ,  $V^r$ , характеристики нелетучего остатка) могут быть учтены данные анализа проб всех четырех классов.

2-28. Для расчета котельного агрегата на топливе, характеристики которого помещены в табл. I, но заданные зольность или влажность отличаются от данных табл. I на величины, большие допустимых (табл. 2-6), расчетные характеристики топлива определяются по указаниям п. 2-06 и 2-07 путем пересчета табличных значений состава и теплоты сгорания (если только принятая расчетная характеристика зольности  $A^r$  не превышает величины  $A^r_{\text{ макс}}$ , указанной в табл. I).

2-29. В тех случаях, когда расчетные характеристики топлива принимаются не по табл. I или II, они должны выбираться согласно рекомендациям специализированной организации.

### ГЛАВА ТРЕТЬЯ

## ФИЗИЧЕСКИЕ ХАРАКТЕРИСТИКИ РАБОЧИХ ТЕЛ, ИСПОЛЬЗУЕМЫЕ В ТЕПЛОВОМ РАСЧЕТЕ КОТЕЛЬНЫХ АГРЕГАТОВ

**3-01.** При определении теплоемкости газов объем маты принимался равным  $22,41 \text{ м}^3$  при  $760 \text{ мм рт. ст.}$  и  $0^\circ\text{C}$  (во идеальному газу).

Теплоемкости воздуха и газов отнесены к  $1 \text{ м}^3$  при  $0^\circ\text{C}$  и  $760 \text{ мм рт. ст.}$

Значения теплоемкостей воздуха и газов, входящих в продукты сгорания, приведены в табл. III.

Теплоемкость влажного воздуха  $c_p$  вычислена при влагосодержании  $10\%$  из  $1 \text{ кг}$  сухого воздуха и отнесена к  $1 \text{ м}^3$  сухого воздуха. При другом влагосодержании  $d$ ,  $\text{г}/\text{м}^3$ , теплоемкость воздуха находится по формуле

$$c_p = c_{p,0} + 0,0016dc_{H_2O}, \text{ ккал}/(\text{м}^3 \cdot {}^\circ\text{C}), \quad (3-01)$$

где  $c_{p,0}$  и  $c_{H_2O}$  — теплоемкость сухого воздуха и водяного пара.

**3-02.** Для продуктов сгорания, давление которых в котельных агрегатах близко к атмосферному, даны коэффициенты кинематической вязкости  $v$ ,  $\text{м}^2/\text{сек.}$ , а для пара и воды — коэффициенты динамической вязкости  $\mu$ ,  $(\text{кг} \cdot \text{сек})/\text{м}^2$ .

Коэффициент кинематической вязкости для пара и воды определяется по формуле

$$v = 9,81 \mu \rho, \text{ м}^2/\text{сек.}, \quad (3-02)$$

где удельные объемы  $\rho$ ,  $\text{м}^3/\text{кг}$ , принимаются по таблицам термодинамических свойств воды и водяного пара (табл. XXIII—XXVII).

**3-03.** Коэффициенты кинематической вязкости воздуха и дымовых газов среднего состава при давлении  $760 \text{ мм рт. ст.}$  и температуре от  $0$  до  $2200^\circ\text{C}$  представлены в табл. IV.

Состав дымовых газов характеризуется объемными долями водяных паров и углекислого газа  $r_{H_2O}$  и  $r_{CO_2}$ , равными парциальным давлениям этих газов при общем давлении  $1 \text{ кгс}/\text{см}^2$ ; средний состав газов соответствует  $r_{H_2O}=0,11$  и  $r_{CO_2}=0,13$ .

Отклонение коэффициентов кинематической вязкости продуктов полного сгорания, имеющих состав, отличный от среднего, обусловлено главным образом изменением содержания водяных паров.

На рис. 3-1 приводится множитель  $M_v=v/v_r$ , определяемый в зависимости от  $r_{H_2O}$  и температуры газов.

Коэффициент кинематической вязкости дымовых газов заданного состава подсчитывается по формуле

$$v = M_v v_r, \text{ м}^2/\text{сек.} \quad (3-03)$$

**3-04.** Коэффициенты динамической вязкости воды и водяного пара при давлении от  $1$  до  $400 \text{ кгс}/\text{см}^2$  и температуре от  $0$  до  $700^\circ\text{C}$ , а также на линии насыщения приведены в табл. V.

**3-05.** Коэффициенты теплопроводности воздуха и дымовых газов среднего состава ( $r_{H_2O}=0,11$ ,  $r_{CO_2}=0,13$ ) для температур  $0$ — $2200^\circ\text{C}$  представлены в табл. IV.

Теплопроводность продуктов полного сгорания, как и вязкость, зависит главным образом от содержания водяных паров. На рис. 3-1 приведен множитель  $M_\lambda=\lambda/\lambda_r$ , определяемый в зависимости от  $r_{H_2O}$  и температуры газов.

Коэффициент теплопроводности дымовых газов заданного состава вычисляется по формуле

$$\lambda = M_\lambda \lambda_r, \text{ ккал}/(\text{м} \cdot {}^\circ\text{C}). \quad (3-04)$$

**3-06.** Коэффициенты теплопроводности воды и водяного пара для давлений от  $1$  до  $400 \text{ кгс}/\text{см}^2$  и температуры от  $0$  до  $700^\circ\text{C}$ , а также на линии насыщения приведены в табл. VI.

**3-07.** Критерий физических свойств

$$Pr = 3,600 \frac{v_{\text{пар}}}{\lambda}, \quad (3-05)$$

где  $c_p$  — истинная теплоемкость,  $\text{ккал}/(\text{кг} \cdot {}^\circ\text{C})$ ;  
 $\rho$  — плотность,  $\text{кг}/\text{м}^3$ .

**3-08.** Значения критерия  $Pr$  для воздуха и дымовых газов среднего состава (объемные доли трехатомных газов  $r_{H_2O}=0,11$ ;  $r_{CO_2}=0,13$ ) при давлении  $760 \text{ мм рт. ст.}$  и температуре от  $0$  до  $2200^\circ\text{C}$  даны в табл. IV.

На рис. 3-1 показан график зависимости множителя  $M_{Pr}=Pr/Pr_r$  от объемной доли водяных паров  $r_{H_2O}$ . Для дымовых газов, состав которых отличается от среднего, критерий  $Pr$  определяется по формуле

$$Pr=Pr_r M_{Pr}. \quad (3-06)$$

**3-09.** Значения критерия  $Pr$  для воды и водяного пара для давлений от  $1$  до  $400 \text{ кгс}/\text{см}^2$  и температур от  $0$  до  $700^\circ\text{C}$ , а также на линии насыщения приведены в табл. VII.

**3-10.** Для котлов, работающих с наддувом при давлении, превышающем  $1,05 \text{ кгс}/\text{см}^2$ , коэффициент кинематической вязкости газов определяется по формуле

$$v_p = \frac{v}{p}, \text{ м}^2/\text{сек.}, \quad (3-07)$$

где  $p$  — давление дымовых газов,  $\text{кгс}/\text{см}^2$ .

Теплоемкость, коэффициент теплопроводности и критерий физических свойств газов принимаются для давлений, которые могут возникнуть в газоходах котлов (в том числе и высоконапорных парогенераторов), не зависящими от давления.

**3-11.** Удельные объемы и энталпии воды и водяного пара даны в табл. XXIII—XXVII.

**3-12.** Коэффициенты вязкости и теплопроводности, а также величины критерия  $Pr$  для газообразных топлив указаны в табл. VIII. Они могут также быть использованы для определения характеристик других, близких по составу смесей газов.

**3-13.** Теплоемкость рабочей массы твердого топлива рассчитывается по выражению

$$c_{p,t} = \frac{W_t}{100} + c_{p,2t} \frac{100 - W_t}{100}, \text{ ккал}/(\text{кг} \cdot {}^\circ\text{C}). \quad (3-08)$$

Теплоемкость сухой массы топлива  $c_{p,2t}$ ,  $\text{ккал}/(\text{кг} \cdot {}^\circ\text{C})$  принимается по данным табл. 3-1.

**3-14.** Теплоемкость мазута составляет

$$c_{p,m} = 0,415 + 0,0006t, \text{ ккал}/(\text{кг} \cdot {}^\circ\text{C}), \quad (3-09)$$

где  $t$  — температура мазута,  ${}^\circ\text{C}$ .

**3-15.** Теплоемкость газообразного топлива, отнесенная к  $1 \text{ м}^3$  сухого газа, определяется по формуле

$$c_{p,g} = 0,01 (c_{H_2} H_g + c_{CO} CO + c_{CH_4} CH_4 + c_{CO_2} CO_2 + \dots) + 0,00124 c_{H_2O} d_{p,g}, \text{ ккал}/(\text{м}^3 \cdot {}^\circ\text{C}). \quad (3-10)$$

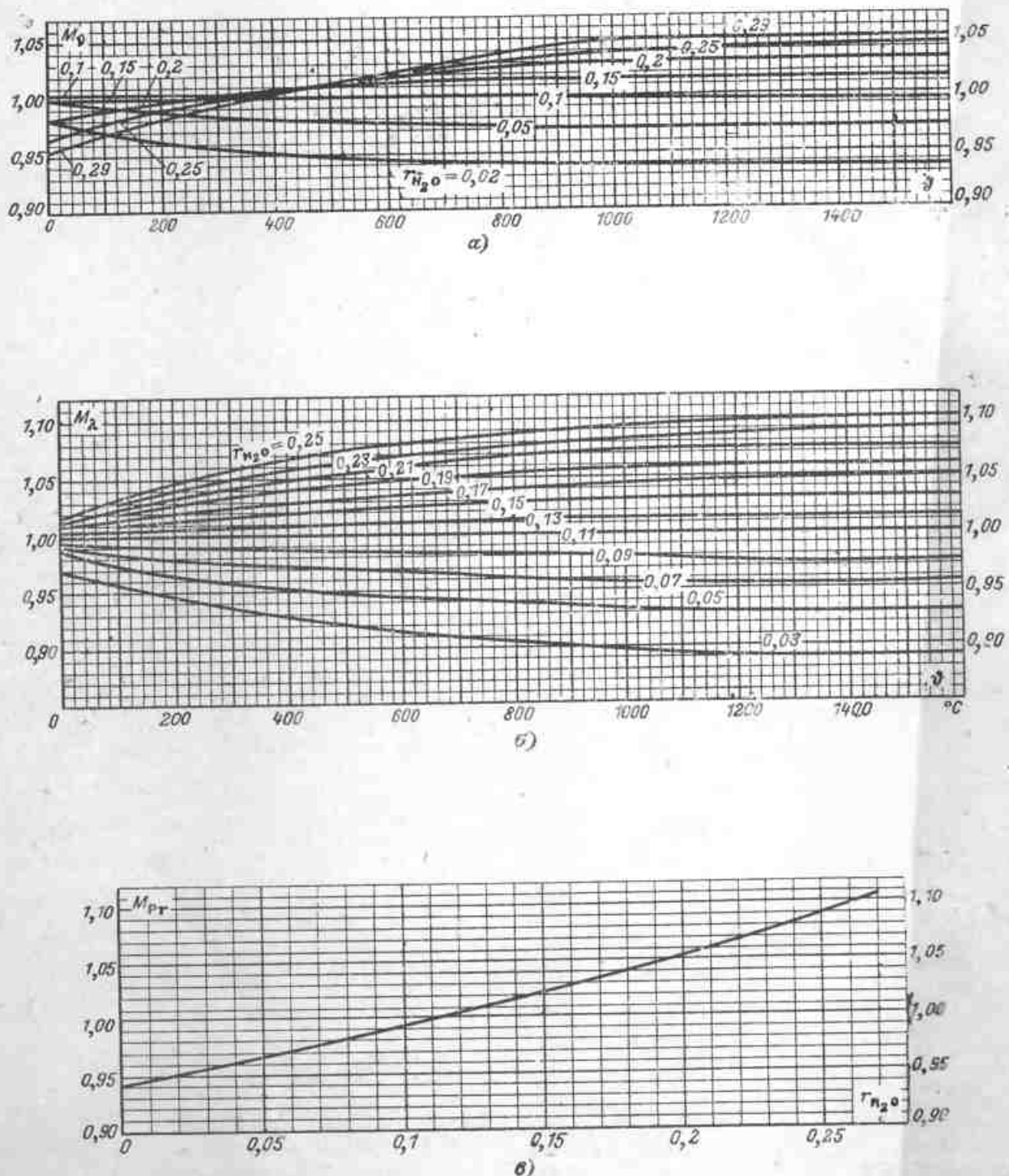


Рис. 3-1. Поправки для пересчета физических характеристик дымовых газов среднего состава.  
α —  $M_v$ ; β —  $M_\lambda$ ; γ —  $M_{pr}$ .

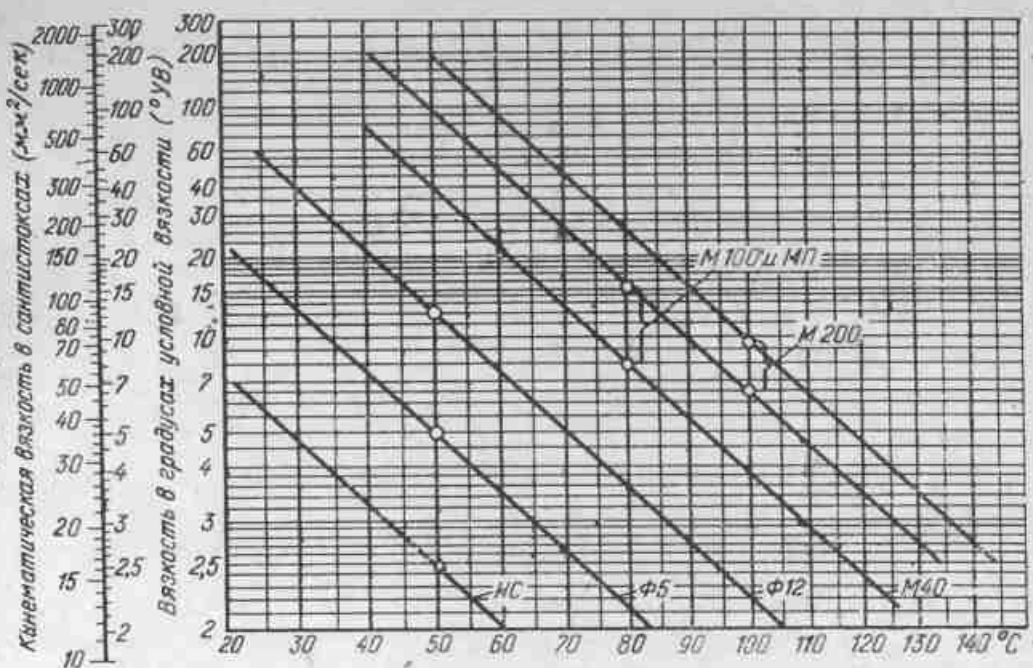


Рис. 3-2. Зависимость коэффициентов вязкости масел от температуры.

Ф6 и Ф12 — мазуты флотские: 40, 100, 200 — гончные мазуты; МП — топливо для кирзовской печи; НС — стабилизированная нефть; О — вязкость мазута по ГОСТу 10585-63; Δ — вязкость стабилизированной нефти.

Таблица 3-1

Топливо	Температура, ${}^{\circ}\text{C}$				
	0	100	200	300	400
Антрациты и тощие углы	0,22	0,23	0,25	0,27	0,28
Каменный уголь	0,23	0,26	0,30	0,34	—
Бурый уголь	0,26	0,30	0,35	—	—
Сланцы	0,25	0,27	0,31	—	—
Фрезерный торф	0,31	0,36	0,43	—	—

Теплоемкости негорючих составляющих приведены в табл. III, горючих — в табл. IX.

3-16. Средняя теплоемкость золы твердых топлив от 0 до  $t, {}^{\circ}\text{C}$ , дана в табл. 3-2.

3-17. Вязкость мазутов и нефти, коэффициенты теплопроводности мазутов, а также температура вспышки и застывания указаны в табл. X. Зависимость коэффициента вязкости от температуры показана на рис. 3-2.

Таблица 3-2

$t, {}^{\circ}\text{C}$	$c_{\text{зп}}, \text{ ккал}/(\text{кг} \cdot {}^{\circ}\text{C})$	$t, {}^{\circ}\text{C}$	$c_{\text{зп}}, \text{ ккал}/(\text{кг} \cdot {}^{\circ}\text{C})$				
0	100	200	300	400	700	800	900
100	0,193	—	—	—	0,226	—	—
200	0,202	—	—	—	0,229	—	—
300	0,210	—	—	—	0,232	—	—
400	0,215	—	—	—	0,235	—	—
500	0,219	—	—	—	—	—	—
600	0,223	—	—	—	—	—	—
700	0,226	—	—	—	—	—	—
800	0,229	—	—	—	—	—	—
900	0,232	—	—	—	—	—	—
1 000	0,235	—	—	—	—	—	—

Примечание. 1. Значения теплоемкости при высоких температурах даны с учетом теплоты перехода из твердого в жидкое состояние.

2. Значения теплоемкости при  $t > 1 600 {}^{\circ}\text{C}$  определены приближенно, экстраполяцией опытных данных.

#### ГЛАВА ЧЕТВЕРТАЯ

### ОБЪЕМЫ И ЭНТАЛЬПИИ ВОЗДУХА И ПРОДУКТОВ СГОРАНИЯ

#### 4-А. РАСЧЕТ ОБЪЕМОВ И ЭНТАЛЬПИИ

4-01. Все объемы и энталпии воздуха и продуктов сгорания рассчитываются на 1 кг твердого, жидкого или на 1 м<sup>3</sup> сухого газообразного топлива при нормальных условиях. При разомкнутой схеме пылеприготовления расчеты ведутся из 1 кг подсущенного топлива, при полуразомкнутой — согласно п. 4-13.

<sup>1</sup> Объемы воздуха и газов в данной книге выражены в м<sup>3</sup> при 0 °С и 760 мм рт. ст.

Потери тепла от механического недожога  $q_4$  учитываются при определении расчетного расхода топлива:

$$B_p = \frac{100 - q_4}{100} B, \text{ кг/ч}, \quad (4-01)$$

где  $B$  — полный расход топлива из котельного агрегата, кг/ч.

Все формулы даны применительно к случаю отсутствия химической неполноты сгорания топлива  $q_3$ , но с достаточной для расчетов точностью могут использоваться и при незначительной химической неполноте

горения, соответствующей указанным в гл. 5 значениям. Состав твердого и жидкого топлив в формулах выражен в процентах по массе, а газообразного — по объему.

Объем 1 моля при нормальных условиях для всех газов принимался равным  $22.41 \text{ м}^3$  (как для идеального газа). При вычислении энталпий ошибки от разницы объемов молей реального и идеального газов не вносятся, так как теплоемкости газов отнесены к тому же объему моля (п. 3-01).

**4-02.** Объемы и массу воздуха и продуктов сгорания при сжигании твердых и жидкого топлива определяют по приведенным ниже формулам.

Теоретическое количество сухого воздуха, необходимого для полного сгорания топлива (коэффициент избытка воздуха  $\alpha=1$ )

$$V^0 = 0.0889(C_p + 0.375S_{\text{топл}}) + 0.265H^p - 0.0333O^p, \text{ м}^3/\text{кг}; \quad (4-02)$$

$$L^0 = 0.115(C_p + 0.375S_{\text{топл}}) + 0.342H^p - 0.0431O^p, \text{ кг/кг}. \quad (4-03)$$

Теоретические (минимальные) объемы продуктов сгорания, полученные при полном сгорании топлива с теоретически необходимым количеством воздуха ( $\alpha=1$ ):

теоретический объем азота

$$V_{N_2}^0 = 0.79V^0 + 0.8 \frac{N^p}{100}, \text{ м}^3/\text{кг}; \quad (4-04)$$

объем трехатомных газов

$$V_{RO_2}^0 = 1.860 \frac{C_p + 0.375S_{\text{топл}}}{100}, \text{ м}^3/\text{кг}; \quad (4-05)$$

теоретический объем водяных паров

$$V_{H_2O}^0 = 0.111H^p + 0.0124W^p + 0.0161V^0, \text{ м}^3/\text{кг}. \quad (4-06)$$

При наличии парового дутья или парового распыления мазута при расходе пара  $G_\phi, \text{ кг/кг}$ , в величину  $V_{H_2O}^0$  включается член  $1.24G_\phi$ .

При избытке воздуха  $\alpha > 1$  расчет ведется по следующим формулам:

объем водяных паров

$$V_{H_2O} = V_{H_2O}^0 + 0.0161(\alpha - 1)V^0, \text{ м}^3/\text{кг}; \quad (4-07)$$

объем дымовых газов

$$V_\tau = V_{RO_2} + V_{N_2} + V_{H_2O} + (\alpha - 1)V^0, \text{ м}^3/\text{кг}; \quad (4-08)$$

объемные доли трехатомных газов, равные парциальным давлениям газов при общем давлении 1 кгс/см<sup>2</sup>,

$$r_{RO_2} = \frac{V_{RO_2}}{V_\tau}; \quad (4-09)$$

$$r_{H_2O} = \frac{V_{H_2O}}{V_\tau}; \quad (4-10)$$

безразмерная концентрация золы в дымовых газах

$$\mu_{\text{з}} = \frac{A_{\text{з}}v_{\text{з}}}{100G_\tau}, \text{ кг/кг}, \quad (4-11)$$

где  $v_{\text{з}}$  — доля золы топлива, уносимой газами, определяется по табл. XVII—XIX, XXI;

масса дымовых газов

$$G_\tau = 1 + \frac{A^p}{100} + 1.306aV^0, \text{ кг/кг}. \quad (4-12)$$

При наличии парового дутья или парового распыления мазута к величине  $G_\tau$  добавляется член  $G_\phi$ . Особенности расчета при сжигании сланцев указаны в п. 4-11.

**4-03.** Объемы и масса воздуха и продуктов сгорания при сжигании 1 м<sup>3</sup> сухого газообразного топлива определяются по следующим формулам:

теоретическое количество воздуха

$$V^0 = 0.0476 \left[ 0.5CO + 0.5H_2 + 1.5H_2S + \sum \left( m + \frac{n}{4} \right) C_m H_n - O_2 \right], \text{ м}^3/\text{м}^3; \quad (4-13)$$

теоретический объем азота

$$V_{N_2}^0 = 0.79V^0 + \frac{N^p}{100}, \text{ м}^3/\text{м}^3; \quad (4-14)$$

объем трехатомных газов

$$V_{RO_2} = 0.01 [CO_2 + CO + H_2S + \sum m C_m H_n], \text{ м}^3/\text{м}^3; \quad (4-15)$$

теоретический объем водяных паров

$$V_{H_2O}^0 = 0.01 \left[ H_2S + H_2 + \sum \frac{n}{2} C_m H_n + 0.124d_{\text{вт.}} \right] + 0.0161V^0, \text{ м}^3/\text{м}^3, \quad (4-16)$$

где  $d_{\text{вт.}}$  — влагосодержание газообразного топлива, отнесенное к 1 м<sup>3</sup> сухого газа, г/м<sup>3</sup>.

Объемы и объемные доли газов при  $\alpha > 1$  рассчитываются по формулам (4-07) — (4-10).

Плотность сухого газа при нормальных условиях

$$\rho_{\text{вт.}} = 0.01 [1.96CO_2 + 1.52H_2S + 1.25N_2 + 1.43O_2 + 1.25CO + 0.089H_2 + \sum (0.536m + 0.045n) C_m H_n], \text{ кг/м}^3; \quad (4-17)$$

Масса дымовых газов

$$G_\tau = \rho_{\text{вт.}} + \frac{d_{\text{вт.}}}{1000} + 1.306aV^0, \text{ кг/м}^3. \quad (4-18)$$

**4-04.** В формулах для определения объема водяных паров (4-06), (4-07) и (4-16) влагосодержание воздуха  $d$  принято равным 10 г на 1 кг сухого воздуха. Если по заданию влагосодержание воздуха существенно отличается от указанного, то объем водяных паров, вычисленный по этим формулам, следует изменить на величину

$$\Delta V_{H_2O} = 0.0016aV^0(d - 10), \text{ м}^3/\text{кг} \text{ или } \text{м}^3/\text{м}^3, \quad (4-19)$$

а массу дымовых газов на величину

$$\Delta G_\tau = 0.0013aV^0(d - 10), \text{ кг/кг} \text{ или } \text{кг/м}^3. \quad (4-20)$$

**4-05.** Особенности расчета объемов при рециркуляции газов в котельном агрегате указаны в п. 4-10.

\* Содержащиеся в топливе в небольшом количестве (до 3%) непредельные углеводороды известного состава принимаются состоящими из  $C_2H_4$ .

4-06. Энталпия дымовых газов на 1 кг или на 1 м<sup>3</sup> топлива подсчитывается по формуле

$$I = I_r + (\alpha - 1) I_{\infty}, \text{ ккал/кг или ккал/м}^3. \quad (4-21)$$

Энталпия газов при коэффициенте избытка воздуха  $\alpha = 1$  и температуре газов  $0, {}^\circ\text{C}$ :

$$I_r = V_{\text{CO}_2} (\epsilon\theta)_{\text{CO}_2} + V_{\text{N}_2} (\epsilon\theta)_{\text{N}_2} + V_{\text{H}_2\text{O}} (\epsilon\theta)_{\text{H}_2\text{O}}, \text{ ккал/кг или ккал/м}^3. \quad (4-22)$$

Энталпия теоретически необходимого количества воздуха при нормальных условиях:

$$I_{\infty} = V^0 (\epsilon\theta)_{\infty}, \text{ ккал/кг или ккал/м}^3. \quad (4-23)$$

Теоретические объемы сухого воздуха  $V^0$  и газов  $V_{\text{CO}_2}$ ,  $V_{\text{N}_2}$  и  $V_{\text{H}_2\text{O}}$  вычисляются по формулам п. 4-02 для твердого и жидкого и п. 4-03—для газообразного топлива. Энталпия 1 м<sup>3</sup> влажного воздуха  $(\epsilon\theta)_{\infty}$ , углекислого газа  $(\epsilon\theta)_{\text{CO}_2}$ , золы  $(\epsilon\theta)_{\text{N}_2}$  и водяных паров  $(\epsilon\theta)_{\text{H}_2\text{O}}$  определяется по табл. XIII.

4-07. К энталпии дымовых газов следует добавлять энталпию золы, подсчитываемую по формуле

$$I_{\text{зл}} = (\epsilon\theta)_{\text{зл}} \frac{A_p}{100} \mu_{\text{зл}}, \text{ ккал/кг}, \quad (4-24)$$

где  $(\epsilon\theta)_{\text{зл}}$  — энталпия 1 кг золы, найденная по табл. XIII, ккал/кг;

$\mu_{\text{зл}}$  — доля золы топлива, уносимой газами, принимается по табл. XVII—XIX, XXI.

При наличии встроенных золоуловителей следует учитывать уменьшение содержания золы в дымовых газах для расположенных за золоуловителем поверхностей нагрева, к. п. д. встроенных золоуловителей принимаются при этом равными 0,4 — для железных, 0,75 — для батарейных циклонов и сопловых.

При приведенной величине уноса золы из топки

$$\frac{10^3 \mu_{\text{зл}} A_p}{Q_{\text{зл}}} < 6$$

значением энталпии золы можно пренебречь.

4-08. Для типовых топлив, характеристики которых приведены в табл. I и II, объемы и энталпии воздуха и дымовых газов при  $\alpha = 1$  представлены в табл. XI—XV.

4-09. Расчет объемов и энталпий рекомендуется вести согласно табл. 4-1 и 4-2.

При составлении I-б таблицы рекомендуется для каждого значения коэффициента избытка воздуха определять величину  $I$  в пределах, немного превышающих реально возможные температуры в газоходах. Около величин  $I$  целесообразно помещать величину  $\Delta I$  — раз-

Таблица 4-1  
Объемы газов, объемные доли трехатомных газов, концентрация золы

Величина	Размерность	газоходы			
		$\text{Z}$	$\text{N}_2$	$\text{H}_2$	$\text{O}_2$
Средние значения коэффициента $\alpha$ в газоходах $(\alpha - 1) V^0$	$\text{м}^3/\text{кг}$	—	—	—	—
$V_{\text{H}_2\text{O}} = V_{\text{H}_2\text{O}}^0 + 0,0161 (\alpha - 1) V^0$	—	—	—	—	—
$V_r = V_{\text{CO}_2} + V_{\text{N}_2} + V_{\text{H}_2\text{O}} + (\alpha - 1) V^0$	—	—	—	—	—
$r_{\text{CO}_2} = \frac{V_{\text{CO}_2}}{V_r}$	—	—	—	—	—
$r_{\text{H}_2\text{O}} = \frac{V_{\text{H}_2\text{O}}}{V_r}$	—	—	—	—	—
$r_{\text{z}} = r_{\text{CO}_2} + r_{\text{H}_2\text{O}}$	—	—	—	—	—
$\mu_{\text{зл}} = \frac{A_p a_{\text{зл}}}{100 G_s}$	$\text{кг/кг}$	—	—	—	—
$(A_p, \%)$	—	—	—	—	—

ность двух соседних по вертикали значений  $I$  при одном значении  $\alpha$ .

4-10. Рециркуляция газов в расчетах объемов и энталпий продуктов сгорания учитывается на тракте от места ввода рециркулирующих газов в котельный агрегат до места их отбора.

Коэффициент рециркуляции:

$$r = \frac{V_{\text{рн}}}{V_{\text{т.отб}}}, \quad (4-25)$$

где  $V_{\text{рн}}$  и  $V_{\text{т.отб}}$  — объемы газов, отбираемых из рециркуляции в сечении газохода за местом отбора,  $\text{м}^3/\text{кг}$ .

Объем газов в промежуточной точке тракта от места возврата до места отбора:

$$V_{\text{т.рн}} = V_r + r V_{\text{т.отб}}, \text{ м}^3/\text{кг}, \quad (4-26)$$

где  $V_r$  — объем газов в данной точке тракта без учета рециркуляции,  $\text{м}^3/\text{кг}$ .

Энталпия газов в месте возврата рециркулирующих газов после смешения:

$$I_{\text{т.рн}} = I_r + r I_{\text{т.отб}}, \text{ ккал/кг}, \quad (4-27)$$

Таблица 4-2

## Энталпии продуктов сгорания (I-б таблица)

$\theta, {}^\circ\text{C}$	$I_r^0, \text{ ккал/кг}$	$I_{\infty}^0, \text{ ккал/м}^3$	$(\epsilon\theta)_{\text{зл}}, \text{ ккал/кг/}({}^\circ\text{C})$	$I_{\text{зл}} = (\epsilon\theta)_{\text{зл}} \frac{A_p}{100}, \text{ ккал/кг}$	$I = I_r^0 + (\alpha - 1) I_{\infty}^0 + I_{\text{зл}}, \text{ ккал/кг}$			
					$\alpha_r$	$\alpha_{\infty}$	$I$	$\Delta I$
					$I$	$\Delta I$	$I$	$\Delta I$

Примечание. Значения  $\alpha$  за газоходами.

